

## ИССЛЕДОВАНИЕ ДИНАМИКИ ПОЛЕТА ОСЕСИММЕТРИЧНОГО СНАРЯДА

Методами малого параметра изучается движение осесимметричного быстровращающегося артиллерийского снаряда. Малый параметр введен в уравнения движения снаряда с помощью процедуры числовой нормализации. На основе нелинеаризованных уравнений движения даны оценки модулей попечной угловой скорости и пространственного угла атаки при известных оценках модулей их начальных значений. Уточнены условия динамической устойчивости снаряда. Установлено, что погрешность асимптотического решения первого приближения [6] уравнений углового движения снаряда увеличивается при учете членов этих уравнений, нелинейных по переменным углового движения.

**1. Постановка задачи.** Одним из способов частичной формализации процедуры введения малого параметра в уравнения движения механической системы является нормализация этих уравнений (см. [5]). Она основана на переходе к новым масштабам времени, фазовых переменных и зависящих от них функций. При этом в качестве новых масштабов фазовых переменных выбираются верхние характерные значения их модулей, то есть значения, близкие к максимальным по времени для всего изучаемого класса механических систем. В полученных таким образом нормализованных уравнениях движения выделяются безразмерные функции порядка 1, зависящие от фазовых переменных и времени, и множители при них, являющиеся безразмерными степенными одночленами, составленными из характерных значений модулей исходных переменных и функций. Один или несколько из таких одночленов принимаются за малые параметры, а остальные выражаются через них с использованием предположений о выделяемом классе движений, теоретических оценок по упрощенной модели, а также числовых данных, полученных с помощью натурного или численного эксперимента.

Для конкретного класса механических систем каждое из характерных значений, а следовательно, и их комбинация, выбираемая в качестве малого параметра, обычно принадлежат узкому диапазону положительных числовых значений, и потому малый параметр фактически вводится вместо определенного числа  $\varepsilon_0 \in (0; 1)$ . Но тогда с той же степенью обоснованности нормализацию можно сразу проводить не в общем виде, а выбирать в качестве характерных значений конкретные числа и вводить малый параметр вместо определенного числа. Такая числовая нормализация является гибким способом введения малого параметра и позволяет легко определить относительный "вес" каждого члена уравнений.

Примем обозначения статьи [3]. Характерные значения модулей медленно изменяющихся переменных  $x, y, z, v, \theta, \psi, p$  достаточно надежно определяются из натурного и численного эксперимента. Поэтому представляет интерес получение теоретических оценок верхних характерных значений модулей переменных  $q, r, \alpha, \beta$ , описывающих угловое движение оси симметрии снаряда. Условия, при которых устанавливаются такие оценки, являются условиями правильности полета снаряда, или условиями его динамической устойчивости (см. [1],[4]), если найденные верхние характерные значения модулей переменных  $\alpha, \beta$  (или угла атаки  $\delta$ ) достаточно малы (порядка  $0,1^2$ ). Последовательность получения этих оценок такова. Для переменных углового движения в качестве новых масштабов берутся некоторые "ожидаемые" верхние характерные числовые значения их модулей. Это позволяет ввести в уравнения движения малый параметр с помощью

Таблица (начало)

Величина	$x^*, y^*$	$z^*$	$v^*$	$v_*$	$\theta^*$	$\psi^*$	$p^*, p_*$	$\alpha^*, \beta^*$	$q^*, r^*$
Значение	$10^4$	$10^2$	$10^3$	$10^2$	1	$0,1^2$	$10^3$	$0,1^2$	1
Ед. измер.	м	м	м/с	м/с	-	-	1/с	-	1/с

Таблица (окончание)

$K_{x0}^*$	$K_{y0}^*, K_{z0}^*$	$K_{p0}^*$	$A_{\Omega0}^*$	$A_{g0}, A_{g0*}$	$B_{y0}^*$	$B_{z0}^*$	$B_{z0*}$	$t^*$
$10^2$	0,1	$0,1^2$	1	$10^2$	$10^2$	$10^2$	$10^4$	$10^3$
м/с <sup>2</sup>	1/с	1/с	1/с	1/с	1/с <sup>2</sup>	1/с <sup>2</sup>	1/с <sup>2</sup>	с

процедуры числовой нормализации (п.2). Затем проводятся оценки и устанавливается, что рассматриваемые переменные равны  $O(1)$  при  $\varepsilon \rightarrow 0$  (пп.3–5), а это означает, что действительные верхние характерные значения модулей соответствующих исходных переменных равны ожидаемым. После этого становятся определенными порядки по  $\varepsilon$  всех членов уравнений движения, что дает возможность построить приближенное асимптотическое решение уравнений углового движения, аналогичное указанному в [6], и оценить его погрешность с учетом нелинейных членов (п.6).

Символы  $O(\varepsilon^n)$  [ $O^*(\varepsilon^n)$ ] обозначают функции  $f(\xi, t, \varepsilon)$ , которые в рассматриваемой области изменения некоторого вектора  $\xi$  и времени  $t$  имеют при  $\varepsilon \rightarrow 0$  порядок не ниже  $\varepsilon^n$  [равный  $\varepsilon^n$ ], при этом для положительных функций используются обозначения  $O_+(\varepsilon^n)$  [ $O_+^*(\varepsilon^n)$ ]. Аналогичные обозначения используются и при оценках числовых порядков. В этом случае применяется десятичная степенная шкала, так что равенства  $f(\xi, t) = O(0,1^n)$  и  $f(\xi, t) = O^*(0,1^n)$  означают, что  $|f(\xi, t)| < 0,1^{n-1}$  и  $0,1^{n+1} < |f(\xi, t)| < 0,1^{n-1}$  в рассматриваемой области изменения переменных  $\xi, t$ .

Для сокращения записи применяются обозначения  $\zeta = \sin \delta, c(\zeta) = 1/(1 + \sqrt{1 - \zeta^2})$ , где  $\delta$  – пространственный угол атаки. Так как  $\alpha = \sin \delta \cos \nu, \beta = \sin \delta \sin \nu$ , где  $\nu$  – угол поворота плоскости угла атаки, то  $\zeta^2 = \alpha^2 + \beta^2$ .

Чтобы при введении малого параметра было удобней выделить в уравнениях движения функции порядка единицы, вводятся две четные аналитические функции  $s(\psi) = (\sin \psi)/\psi, t(\psi) = (\tan \psi)/\psi$  ( $s(0) = t(0) = 1$ ).

**2. Введение малого параметра.** Движение осесимметричного быстровращающегося артиллерийского снаряда при  $|\delta| \leq \pi/2$  описывается уравнениями (19), (20), (24), (25) статьи [3] и изучается на интервале времени  $[t_0; t_1]$ , где  $t_0$  – момент вылета снаряда из орудия,  $t_1$  – момент его падения на землю. Кроме упомянутых выше максимальных, для оценок используются также близкие к минимальным по времени значения модулей некоторых переменных и функций для всего рассматриваемого класса объектов. Первые естественно назвать верхними, а вторые – нижними характерными числовыми значениями модулей этих величин. Они даны в таблице, где отмечены соответственно верхним и нижним индексом \*. Приведенные в верхней части таблицы характерные значения  $x^*, y^*, z^*, v^*, v_*, \theta^*, \psi^*, p^*, p_*$  являются действительными, а  $\alpha^*, \beta^*, q^*, r^*$  – ожидаемыми. Указанные в таблице верхние и нижние характерные значения переменных  $y, v, \theta, \psi, p$  определяют область  $\Xi^5$  изменения этих переменных (5-мерный параллелепипед). Соответствующая область изменения  $y, v, p$  обозначается через  $\Xi^3$ .

Характерные начальные значения  $\alpha^*, \beta^*, q^*, r^*(t_0)$  переменных  $\alpha, \beta, q, r$  найдем в предположении, что в момент  $t_0$  вылета снаряда из орудия скорость его центра масс направлена вдоль оси ствола, расстояние между ведущими утолщениями  $L \approx 500$  мм, а зазор между снарядом и поверхностью канала ствола  $h \approx 0,5$  мм. Тогда синус угла наклона снаряда к оси ствола по модулю равен  $|\zeta(t_0)| = h/L$ , и следовательно,  $|\zeta^*(t_0)| \approx 0,1^3$ . В этом наклонном положении благодаря нарезке ствола снаряд имеет угловую скорость  $\omega(t_0)$ , направленную вдоль оси ствола. Проекция  $\Omega(t_0)$  вектора  $\omega(t_0)$  на плоскость, ортогональную оси симметрии снаряда, по модулю равна  $|p(t_0) \sin \delta(t_0)|$ . Поэтому  $q^*, r^*(t_0) = p^*(t_0)\zeta^*(t_0)$ . Следовательно,

$$\alpha^*, \beta^*(t_0) = 0,1^3, \quad q^*, r^*(t_0) = 1 \text{ c}^{-1}. \quad (1)$$

Аэродинамические силы и моменты характеризуются функциями  $R_x, R_{y1} = R_y/\zeta, R_{z1} = R_z/\zeta, M_p, M_\Omega, M_{y1} = M_y/\zeta, M_{z1} = M_z/\zeta$ , которые зависят от  $y, v, \zeta$ , а  $R_{z1}, M_{y1}$  – еще и от  $p$ . В уравнения движения снаряда входят выражющиеся через них аэrodинамические функции

$$\begin{aligned} K_x &= R_x/m, \quad K_y = R_{y1}/mv, \quad K_z = R_{z1}/mv, \quad K_p = M_p/I_1, \\ A_\Omega &= M_\Omega/I_2, \quad B_y = M_{y1}/I_2, \quad B_z = M_{z1}/I_2. \end{aligned} \quad (2)$$

Все они являются четными по  $\zeta$  [3]. Эти функции предполагаются дважды непрерывно дифференцируемыми при  $(y, v, p, ) \in \Xi^3$  и значениях  $\zeta = O(0,1)$ , которые по модулю на десятичный порядок больше ожидаемых. Поэтому, если временно обозначить через  $A(y, v, p, \zeta)$  одну из этих функций, то

$$A(y, v, p, \zeta) = A_0(y, v, p) + A_2(y, v, p, \zeta)\zeta^2, \quad (3)$$

где  $A_0(y, v, p) = A(y, v, p, 0)$ ,  $A_2(y, v, p, \zeta) = A''(y, v, p, \tilde{\zeta}(\zeta))/2$  ( $\tilde{\zeta}(\zeta) \in [0; \zeta]$ ) являются соответственно дважды непрерывно дифференцируемой и непрерывной функциями. Здесь и далее нулевым нижним индексом отмечаются значения функций при  $\zeta = 0$ , штрих означает дифференцирование по  $\zeta$ .

Функции  $K_{x0}, K_{y0}, K_{p0}, A_{\Omega 0}, B_{z0}(y, v)$  достаточно надежно определяются экспериментальным путем, что позволяет найти характерные значения их модулей (они приведены в нижней части таблицы). В п.3 после замены переменных в линейной части уравнений углового движения функция  $B_{z0}$  входит в эти уравнения с множителем 4. Поэтому в таблице в качестве  $B_{z0}^*, B_{z0*}$  взяты верхнее и нижнее характерные значения функции  $4B_{z0}$ . Относительно силы Магнуса  $R_z$  известно, что она меньше влияет на полет снаряда, чем подъемная сила  $R_y$ . С учетом этого для общности предполагается, что  $R_z$  принимает значения того же порядка, что и подъемная сила  $R_y$ , или меньшие по модулю значения, то есть  $K_{z0}^* = K_{y0}^*$ . Для функции  $B_{y0}$ , характеризующей момент Магнуса  $M_y$ , следует предположить, что  $B_{y0}^* = 0,1^2 B_{z0}^*$ , так как если предположить  $B_{y0}^*$  больше хотя бы на один десятичный порядок, то невозможно обеспечить выполнение условий динамической устойчивости снаряда в п.4. Время полета снаряда при стрельбе на максимальную дальность составляет несколько десятков секунд. Поэтому характерное время полета  $t^* = 10$ с. В таблице приведены также характерные значения функции  $A_{g0}(p) = pI_1/I_2$ .

Относительно величин квадратичных по  $\zeta$  членов аэродинамических функций  $K_x, K_y, K_z, K_p, B_z$  делаются следующие предположения, основанные на имеющихся экспериментальных данных. Для функций  $K_x, K_y, K_z, K_p$  предполагается, что в области

$(y, v, p) \in \Xi^3$ ,  $\zeta = O(0,1)$  числовые значения производных  $K''_x, K''_y, K''_z, K''_p$ , а вместе с ними и числовые значения коэффициентов  $K_{x2}, K_{y2}, K_{z2}, K_{p2}$  при  $\zeta^2$  в формулах вида (3) на один десятичный порядок больше, чем значения соответствующих нулевых членов  $K_{x0}, K_{y0}, K_{z0}, K_{p0}$ . Для функции  $B_z$  предполагается, что  $B''_z$ , а значит, и коэффициент нелинейного члена  $B_{z2}$  в представлении вида (3) принимает при  $(y, v, p) \in \Xi^3$  числовые значения того же порядка, что и нулевой член  $B_{z0}$ . Таким образом, имеем  $K_{x2}^* = 10K_{x0}^*, K_{y2}^* = 10K_{y0}^*, K_{z2}^* = 10K_{z0}^*, K_{p2}^* = 10K_{p0}^*, B_{z2}^* = B_{z0}^*$ . Что касается двух оставшихся функций  $A_\Omega, B_y$ , то квадратичные по  $\zeta$  члены их представлений вида (3) предполагаются такими, что соответствующие им члены уравнений движения имеют тот же порядок, что и нелинейный член, связанный с  $B_z$ .

Нормализуем приведенные в [3] уравнения движения снаряда, выбирая в качестве новых масштабов фазовых переменных верхние характерные значения их модулей, указанные в таблице. Аэродинамические функции (2) отнесем к верхним характерным значениям модулей нулевых членов их представлений вида (3), функцию  $A_{g0}$  – к  $A_{g0}^*$ , а константу  $g$  – к величине  $10 \text{ м/с}^2$ . В качестве новой единицы времени возьмем  $t^0 = 0,01\text{с}$ . Для новых переменных и функций сохраним прежние обозначения. Числовые коэффициенты при выделенных таким образом в уравнениях движения функциях порядка 1 представим в виде степеней числа  $\varepsilon_0 = 0,1$ , а затем заменим  $\varepsilon_0$  малым параметром  $\varepsilon$ . В результате получим содержащие  $\varepsilon$  уравнения поступательного движения и продольного вращения

$$\begin{aligned}\dot{x} &= \varepsilon^3 F_x(v, \theta, \varepsilon^2 \psi), \quad \dot{y} = \varepsilon^3 F_y(v, \theta, \varepsilon^2 \psi), \quad \varepsilon^2 \dot{z} = \varepsilon^5 F_z(v, \varepsilon^2 \psi), \\ \dot{v} &= \varepsilon^4 F_v(\theta, \varepsilon^2 \psi) + \varepsilon^3 K_x(y, v, \zeta, \varepsilon), \\ \dot{\theta} &= \varepsilon^3 F_\theta(v, \theta, \varepsilon^2 \psi) + \varepsilon^5 [K_y(y, v, \zeta, \varepsilon) \alpha - K_z(y, v, p, \zeta, \varepsilon) \beta] / \cos \varepsilon^2 \psi, \\ \varepsilon^2 \dot{\psi} &= \varepsilon^5 F_\psi(v, \theta, \varepsilon^2 \psi) + \varepsilon^5 [K_z(y, v, p, \zeta, \varepsilon) \alpha + K_y(y, v, \zeta, \varepsilon) \beta], \\ \dot{p} &= \varepsilon^4 p K_p(y, v, \zeta, \varepsilon),\end{aligned}\tag{4}$$

где

$$F_x(v, \theta, \varepsilon^2 \psi) = v \cos \theta \cos \varepsilon^2 \psi, \quad F_y(v, \theta, \varepsilon^2 \psi) = v \sin \theta \cos \varepsilon^2 \psi, \quad F_z(v, \varepsilon^2 \psi) = v \psi \sin(\varepsilon^2 \psi), \tag{5}$$

$$F_v(\theta, \varepsilon^2 \psi) = -g \sin \theta \cos \varepsilon^2 \psi, \quad F_\theta(v, \theta, \varepsilon^2 \psi) = -\frac{\varepsilon g \cos \theta}{v \cos \varepsilon^2 \psi}, \quad F_\psi(v, \theta, \varepsilon^2 \psi) = \frac{\varepsilon g}{v} \psi \sin(\varepsilon^2 \psi) \sin \theta,$$

причем  $\varepsilon g/v = O(1)$ . Согласно предположениям о нелинейностях,

$$\begin{aligned}K_x(y, v, \zeta, \varepsilon) &= K_{x0}(y, v) + \varepsilon^3 \zeta^2 K_{x2}(y, v, \zeta, \varepsilon), \\ K_y(y, v, \zeta, \varepsilon) &= K_{y0}(y, v) + \varepsilon^3 \zeta^2 K_{y2}(y, v, \zeta, \varepsilon), \\ K_z(y, v, p, \zeta, \varepsilon) &= K_{z0}(y, v, p) + \varepsilon^3 \zeta^2 K_{z2}(y, v, p, \zeta, \varepsilon), \\ K_p(y, v, \zeta, \varepsilon) &= K_{p0}(y, v) + \varepsilon^3 \zeta^2 K_{p2}(y, v, \zeta, \varepsilon), \\ A_\Omega(y, v, \zeta, \varepsilon) &= A_{\Omega0}(y, v) + \varepsilon^2 \zeta^2 A_{\Omega2}(y, v, \zeta, \varepsilon), \\ B_y(y, v, p, \zeta, \varepsilon) &= B_{y0}(y, v, p) + \varepsilon^2 \zeta^2 B_{y2}(y, v, p, \zeta, \varepsilon), \\ B_z(y, v, \zeta, \varepsilon) &= B_{z0}(y, v) + \varepsilon^4 \zeta^2 B_{z2}(y, v, \zeta, \varepsilon).\end{aligned}\tag{6}$$

При этом для снаряда  $K_{x0}, K_{y0}, B_{z0}(y, v) > 0$  и  $K_{p0}, A_{\Omega 0}(y, v) < 0$ . Пусть

$$\xi = (x, y, \varepsilon^2 z, v, \theta, \varepsilon^2 \psi, p), \quad \xi_5 = (y, v, \theta, \varepsilon^2 \psi, p), \quad \xi_3 = (y, v, p).$$

Области изменения  $\xi_5, \xi_3$ , в которые после изменения масштабов переходят исходные области  $\Xi^5, \Xi^3$ , снова обозначаются через  $\Xi^5, \Xi^3$ . В формулах (5), (6) и далее функции переменных  $\xi_5, \zeta$  и параметра  $\varepsilon$ , обозначаемые заглавными латинскими буквами, равны  $O(1)$  при  $\xi_5 \in \Xi^5, \zeta = O(\varepsilon^{-1})$ . Поэтому если, например,  $k = O(\varepsilon^3)$ , то  $k = \varepsilon^3 K$ , где  $K = O(1)$ .

Уравнения углового движения оси симметрии снаряда после введения в них малого параметра  $\varepsilon$  запишем в квазилинейной форме, пользуясь в их линейной части комплексными переменными  $\Omega = q + ir, \Delta = \alpha + i\beta$ :

$$\begin{aligned} \dot{\Omega} &= a(y, v, p, \varepsilon)\Omega + b(y, v, p, \varepsilon)\Delta + h_\Omega(y, v, \theta, \psi, p, q, r, \alpha, \beta, \varepsilon), \\ \dot{\Delta} &= -i\Omega - k(y, v, p, \varepsilon)\Delta + l(v, \theta, \varepsilon^2 \psi) + h_\Delta(y, v, \theta, \psi, p, q, r, \alpha, \beta, \varepsilon). \end{aligned} \quad (7)$$

Здесь коэффициенты линейных членов равны

$$\begin{aligned} a(y, v, p, \varepsilon) &= \varepsilon^2 A_{\Omega 0}(y, v) + iA_{g0}(p), \quad b(y, v, p, \varepsilon) = \varepsilon^2 B_{y0}(y, v, p) + iB_{z0}(y, v), \\ k(y, v, p, \varepsilon) &= \varepsilon^3 K_{y0}(y, v) + i\varepsilon^3 K_{z0}(y, v, p), \quad l(v, \theta, \varepsilon^2 \psi) = \varepsilon L_\alpha(v, \theta, \varepsilon) + i\varepsilon^3 L_\beta(v, \theta, \psi, \varepsilon), \end{aligned} \quad (8)$$

причем

$$L_\alpha(v, \theta, \varepsilon) = \frac{\varepsilon g}{v} \cos \theta, \quad L_\beta(v, \theta, \psi, \varepsilon) = -\frac{\varepsilon g}{v} \psi \sin(\varepsilon^2 \psi) \sin \theta, \quad (9)$$

а дополнительные члены выражаются формулами

$$\begin{aligned} h_\Omega(y, v, \theta, \psi, p, q, r, \alpha, \beta, \varepsilon) &= \left\{ \varepsilon^4 (\alpha^2 + \beta^2) A_{\Omega 2}(y, v, \zeta, \varepsilon) - i\varepsilon^4 (\alpha q + \beta r) \cos(\varepsilon^2 \zeta) + \right. \\ &\quad + \varepsilon^6 g v^{-1} [\psi \cos(\varepsilon^2 \psi) \cos \theta + \beta \cos(\varepsilon^2 \zeta) \cos \theta + \varepsilon^2 \alpha \psi \sin(\varepsilon^2 \psi) \cos(\varepsilon^2 \zeta) \sin \theta] - \\ &\quad - i\varepsilon^7 K_y(y, v, \zeta, \varepsilon) \alpha \psi \cos(\varepsilon^2 \psi) + i\varepsilon^7 K_z(y, v, p, \zeta, \varepsilon) [(\alpha^2 + \beta^2) \cos(\varepsilon^2 \zeta) + \beta \psi \cos(\varepsilon^2 \psi)] \Big\} \Omega + \\ &\quad + \varepsilon^4 (\alpha^2 + \beta^2) [B_{y2}(y, v, p, \zeta, \varepsilon) + iB_{z2}(y, v, \zeta, \varepsilon)] \Delta, \end{aligned} \quad (10)$$

$$\begin{aligned} h_\Delta(y, v, \theta, \psi, p, q, r, \alpha, \beta, \varepsilon) &= \left\{ \varepsilon^4 (\beta q - \alpha r) \cos(\varepsilon^2 \zeta) + i\varepsilon^6 g v^{-1} \psi \cos(\varepsilon^2 \psi) \cos \theta - \right. \\ &\quad - \varepsilon^6 (\alpha^2 + \beta^2) [K_{y2}(y, v, \zeta, \varepsilon) + iK_{z2}(y, v, p, \zeta, \varepsilon)] + \varepsilon^7 K_y(y, v, \zeta, \varepsilon) [(\alpha^2 + \beta^2) \cos(\varepsilon^2 \zeta) - \\ &\quad - i\alpha \psi \cos(\varepsilon^2 \psi)] + i\varepsilon^7 K_z(y, v, p, \zeta, \varepsilon) [(\alpha^2 + \beta^2) \cos(\varepsilon^2 \zeta) + \beta \psi \cos(\varepsilon^2 \psi)] \Big\} \Delta + \\ &\quad + \varepsilon^6 g v^{-1} (\alpha^2 + \beta^2) \cos(\varepsilon^2 \zeta) [-\cos \theta + i\psi \sin(\varepsilon^2 \psi) \sin \theta]. \end{aligned}$$

В соответствии с таблицей функция  $B_{z0}(y, v) > 0$  ограничена снизу значениями порядка  $\varepsilon$ , которые она может принимать на среднем участке траектории при больших углах стрельбы, а функция  $A_{g0}(p) = I p$  ( $I$  – число, близкое к 1) принимает только значения порядка 1:

$$O_+^*(\varepsilon) \leq B_{z0}(y, v) \leq O_+^*(1), \quad A_{g0}(p) = O^*(1). \quad (11)$$

Кроме того, не только сами нулевые члены представлений (3) функций (2) равны  $O(1)$  в  $\Xi^3$ , но и все их частные производные первого и второго порядков считаются равными  $O(1)$  в  $\Xi^3$ . Это обозначается следующим образом

$$K_{x0}, K_{y0}, K_{z0}, K_{p0}, A_{\Omega 0}, B_{y0}, B_{z0}(y, v, p) = O^2(1), \quad (y, v, p) \in \Xi^3. \quad (12)$$

В начальный момент в соответствии с (1) имеем  $\Omega(t_0, \varepsilon) = O(1)$ ,  $\Delta(t_0, \varepsilon) = O(\varepsilon)$ . Система (4), (7) рассматривается на отрезке времени  $[t_0; t_1]$ , длина которого  $t_1 - t_0 = O(\varepsilon^{-3})$ .

**3. Преобразование уравнений углового движения.** Пусть  $e(\xi_5, \varepsilon)$ ,  $d(\xi_5, \varepsilon)$  – значения  $\Omega$  и  $\Delta$ , при которых обращаются в нули правые части уравнений (7) с отброшенными  $h_\Omega, h_\Delta$ . Тогда

$$e = bl/(ib - ak), \quad d = -al/(ib - ak), \quad (13)$$

причем в соответствии с (8), (11), (12)

$$e(\xi_5, \varepsilon) = \varepsilon E(\xi_5, \varepsilon), \quad d(\xi_5, \varepsilon) = D(\xi_5, \varepsilon), \quad E, D(\xi_5, \varepsilon) = O^2(1). \quad (14)$$

Условимся верхним индексом  $[m]$  отмечать зависящие от  $\xi_5, \varepsilon$  функции, которые с погрешностью  $O(\varepsilon^m)$  аппроксимируют в  $\Xi^5$  соответствующие функции без этого индекса. Подставив (8) в (13), получаем

$$e^{[2]} = -i\varepsilon L_\alpha, \quad d^{[2]} = -\varepsilon^3 A_{g0} B_{y0} L_\alpha / B_{z0}^2 + i\varepsilon A_{g0} L_\alpha / B_{z0}, \quad (15)$$

причем  $\varepsilon/B_{z0} = O(1)$  согласно (11).

В выражении  $\dot{a}(\xi_5, \zeta, \varepsilon) = a_0^1(\xi_3, \varepsilon) + a_1^1(\xi_5, \zeta, \varepsilon)$  производной функции  $a(\xi_5, \varepsilon)$  в силу уравнений движения ведущий член равен

$$a_0^1(\xi_3, \varepsilon) = i\varepsilon^4 A_{g0}(p) K_{p0}(y, v), \quad (16)$$

а для  $a_1^1$  справедлива оценка  $a_1^1 = O(\varepsilon^5)$ . Пусть функция  $w(\xi_5, \varepsilon)$  определена равенством

$$w = (a - k)^2/4 - ib + ak - a_0^1/2. \quad (17)$$

После подстановки в (17) выражений  $a, b, k$  из (8)  $w$  записывается в виде

$$w = -A_{g0}^2 \sigma^2/4 + O(\varepsilon^2), \quad (18)$$

где

$$\sigma = \sqrt{1 - 4B_{z0}/A_{g0}^2}. \quad (19)$$

Свои наибольшие значения функция  $B_{z0}$  принимает на начальном участке траектории, где  $B_{z0} = O_+^*(1)$ , а наименьшие – на среднем участке, где при больших углах стрельбы  $B_{z0} = O_+^*(\varepsilon)$ . Для  $A_{g0}$  имеем  $A_{g0} = O^*(1)$  во все время полета. В момент  $t_0$  конструктивно обеспечивается положительность подкоренного выражения в (19), в этот момент  $0,6 < \sigma_0 < 0,7$ . Но тогда подкоренное выражение положительно при всех  $t \in [t_0; t_1]$ , а функция  $\sigma$  находится в пределах

$$\sigma_0 \leq \sigma \leq 1 - O_+(\varepsilon), \quad (20)$$

где  $\sigma_0 = O_+^*(1)$ . Следовательно,  $w = O^*(1) \neq 0$ . Полагаем теперь

$$\lambda_j = (a - k)/2 \pm \sqrt{w}, \quad \lambda_j^+ = \lambda_j - \dot{w}/4w \quad (j = 1, 2). \quad (21)$$

Здесь  $\dot{w} = \dot{w}(y, v, p, \zeta, \varepsilon)$ , верхний знак отвечает  $j = 1$ , нижний –  $j = 2$ .

В линейной части уравнений (7) делаем замену переменных  $\Omega, \Delta$  на  $u_1, u_2$  типа квазидиагонализирующей замены (7.2.4) в [7]:

$$\Omega = i(\lambda_1^+ + k)u_1 + i(\lambda_2^+ + k)u_2 + e, \quad \Delta = u_1 + u_2 + d. \quad (22)$$

Тогда уравнения (7) преобразуются к виду

$$\dot{u}_j = \lambda_j^+ u_j \pm \rho(u_1 + u_2) \mp \frac{1}{2w^{1/2}} [i(h_\Omega - \dot{e}) + (\lambda_{3-j}^+ + k)(h_\Delta - \dot{d})] \quad (j = 1, 2), \quad (23)$$

$$\rho = \frac{1}{2w^{1/2}} \left( \frac{\ddot{w}}{4w} - \frac{5\dot{w}^2}{16w^2} - \frac{a_1^1 + \dot{k}}{2} \right).$$

Рассмотрим структуру зависимости  $\dot{e}, \dot{d}$  от введенных переменных. Согласно (8),(9), функцию  $l$  в (13) можно представить в виде суммы  $l = L_0 + \varepsilon^4 L_1$  функции  $L_0 = \varepsilon g v^{-1} \cos(\theta + i\varepsilon^2 \psi)$  и малого добавка. Выражение  $\dot{\theta} + i\varepsilon^2 \dot{\psi}$  в соответствии с (4) представляется в виде суммы членов трех типов: зависящих только от  $\xi_5$ , линейных по  $\Delta = \alpha + i\beta$  и малых дополнительных членов. Поэтому и величины  $\dot{e}, \dot{d}$  в (23) представляются в таком же виде. На рассматриваемом решении  $\xi, q, r, \alpha, \beta(t, \varepsilon)$  уравнений движения функции  $\lambda_j, \rho(\xi, q, r, \alpha, \beta, \varepsilon)$  и т.д. обращаются в функции  $\lambda_j, \rho(t, \varepsilon)$  и т.д. Уравнения (23) записываются в интегральной форме

$$u_j(t, \varepsilon) = \tilde{u}_j(t, \varepsilon) + \int_{t_0}^t [\rho_j(\tau, \varepsilon)(u_1(\tau, \varepsilon) + u_2(\tau, \varepsilon)) + \chi_j(\tau, \varepsilon)] d\tau + \\ + \int_{t_0}^t \eta_j(\tau, \varepsilon) \left[ \exp \int_{\tau}^t \lambda_j(\tau_1, \varepsilon) d\tau_1 \right] d\tau \quad (j = 1, 2), \quad (24)$$

где

$$\tilde{u}_j(t, \varepsilon) = u_j(t_0, \varepsilon) \frac{w^{1/4}(t_0, \varepsilon)}{w^{1/4}(t, \varepsilon)} \exp \int_{t_0}^t \lambda_j(\tau_1, \varepsilon) d\tau_1 \quad (j = 1, 2), \quad (25)$$

функции  $\eta_j$  зависят от  $t$  только через переменные  $\xi_5$ , а функции  $\rho_j, \chi_j$  зависят от  $t$  также и через  $q, r, \alpha, \beta$ , причем эта нелинейная зависимость слабая.

**4. Условия динамической устойчивости.** Представим  $\lambda_j$  ( $j = 1, 2$ ) в виде  $\lambda_j = n_j + i\omega_j$ . Подставив в (17), (21) выражения (8), (16), находим  $\varepsilon^5$ -приближения для  $n_j, \omega_j$  ( $j = 1, 2$ ):

$$n_j^{[5]} = \frac{\varepsilon^2}{2} \left( A_{\Omega 0} \pm \frac{A_{g0} A_{\Omega 0} - 2B_{y0}}{\sigma A_{g0}} \right) + \frac{\varepsilon^3}{2} K_{y0} \left( -1 \pm \frac{1}{\sigma} \right) \mp \varepsilon^4 \frac{K_{p0}}{2\sigma}, \\ \omega_j^{[5]} = \frac{A_{g0}}{2} (1 \pm \sigma) + \varepsilon^3 \frac{K_{z0}}{2} \left( -1 \pm \frac{1}{\sigma} \right) \pm \varepsilon^4 \left[ \frac{(1 - \sigma^2) A_{\Omega 0}^2}{4\sigma^3 A_{g0}} - \frac{B_{y0} A_{\Omega 0}}{\sigma^3 A_{g0}^2} + \frac{B_{y0}^2}{\sigma^3 A_{g0}^3} \right]. \quad (26)$$

Отсюда с учетом (11), (20) следует, что в области  $\Xi^3$ , а значит, и на траектории полета при  $t \in [t_0; t_1]$  выполняются соотношения

$$\lambda_1, \omega_1 = O^*(1), \quad O_+^*(\varepsilon) \leq |\lambda_2| \leq O_+^*(1), \quad O_+^*(\varepsilon) \leq |\omega_2| \leq O_+^*(1), \quad n_1, n_2 = O(\varepsilon^2). \quad (27)$$

Поэтому в соответствии с (12) в области  $\Xi^3$  имеем

$$1/\lambda_1, 1/\omega_1 = O^2(1), \quad 1/\lambda_2, 1/\omega_2 = O^2(\varepsilon^{-1}). \quad (28)$$

Предположим, что при  $t \in [t_0; t_1]$  кроме условия гироскопической устойчивости  $1 - 4B_{z0}/A_{g0}^2 > 0$  выполняются неравенства  $n_j \leq O_+(\varepsilon^4)$ ,  $j = 1, 2$ . Поскольку  $t_1 - t_0 = O(\varepsilon^{-3})$ , то тогда

$$\left| \exp \int_{t_0}^t \lambda_j(\tau, \varepsilon) d\tau \right| = 1 + O_+(\varepsilon). \quad (29)$$

Согласно (26), неравенства  $n_j \leq O_+(\varepsilon^4)$  означают, что с погрешностью порядка  $\varepsilon^2$  выполняется неравенство  $|1 - \varepsilon\mu - \mu| \leq \sigma(1 + \varepsilon\mu)$ , где  $\mu = 2B_{y0}/A_{g0}A_{\Omega 0}$ ,  $\mu = -K_{y0}/A_{\Omega 0} > 0$ . Рассматривая его как ограничение на параметр  $\mu$ , получаем для  $\mu$  с погрешностью порядка  $\varepsilon^2$  допустимый интервал  $[\mu_1; \mu_2]$ , где  $\mu_1, \mu_2 = 1 \mp \sigma - \varepsilon\mu(1 \pm \sigma)$ .

В следующем параграфе будет показано, что если выполняются предположения, сделанные при введении малого параметра, а также указанные в данном параграфе неравенства  $\sigma^2 = 1 - 4B_{z0}/A_{g0}^2 > 0$ ,  $n_j \leq O_+(\varepsilon^4)$  ( $j = 1, 2$ ),  $\sigma_0 \leq \sigma \leq 1 - O_+(\varepsilon)$ , то  $\Omega, \Delta(t, \varepsilon) = O(1)$ ,  $t \in [t_0; t_1]$ . Таким образом, эти предположения и неравенства в совокупности обеспечивают динамическую устойчивость снаряда.

Если предположить, что  $n_j \leq O_+(\varepsilon^3)$ , то тогда с погрешностью порядка  $\varepsilon$  будет выполняться неравенство  $|1 - \mu| \leq \sigma$ . Полагая  $s_d = \mu = 2B_{y0}/A_{g0}A_{\Omega 0}$ ,  $s_g = A_{g0}^2/4B_{z0}$ , получим отсюда условие  $s_d(2 - s_d) \geq 1/s_g$ , приведенное в [4]. Формально при  $n_j \leq O_+(\varepsilon^3)$  левая часть (29) равна  $O_+(1)$ . Но так как параметр  $\varepsilon$  введен вместо числа  $\varepsilon_0 = 0,1$ , то в исходной системе уравнений движения (без параметра  $\varepsilon$ ) аналогичная числовая оценка в этом случае выполняться не будет, поскольку  $\exp O_+(1)$  может иметь числовой порядок  $0,1^{-1}$  и ниже. А тогда нельзя будет гарантировать в п.5, что  $\Omega, \Delta(t, \varepsilon) = O(1)$ .

**5. Оценки модулей  $\Omega, \Delta$ .** Пусть  $\Omega^0(t, \varepsilon) = \max |\Omega(\tau, \varepsilon)|$ ,  $\Delta^0(t, \varepsilon) = \max |\Delta(\tau, \varepsilon)|$  при  $\tau \in [t_0; t]$ . Функции  $\Omega^0, \Delta^0(t, \varepsilon)$  являются непрерывными и неубывающими по  $t$ . Отмечая верхним нулевым индексом верхние оценки модулей функций, входящих в (24), получаем

$$\begin{aligned} |\tilde{u}_j(t, \varepsilon)| &\leq \tilde{u}^0 = O_+(1), \quad |\rho_j(t, \varepsilon)| \leq \rho^0(\varepsilon) = O_+(\varepsilon^5), \quad |\eta_j(t, \varepsilon)| \leq \eta^0(\varepsilon) = O(\varepsilon^3), \\ |\chi_j(t, \varepsilon)| &\leq \chi^0(t, \varepsilon) = [O_+(\varepsilon^4)(\Delta^0)^2 + O_+(\varepsilon^4)\Omega^0\Delta^0 + O_+(\varepsilon^5)\Delta^0 + O_+(\varepsilon^5)]\Omega^0 + \\ &\quad + [O_+(\varepsilon^4)(\Delta^0)^2 + O_+(\varepsilon^5)\Delta^0 + O_+(\varepsilon^5)]\Delta^0 + O_+(\varepsilon^6) \quad (j = 1, 2). \end{aligned} \quad (30)$$

Аргументы у  $\Omega^0, \Delta^0(t, \varepsilon)$  здесь для краткости опущены. Функции  $\rho_j$ , зависящие от  $q, r, \alpha, \beta$ , оценены при  $\Omega, \Delta = O(\varepsilon^{-1})$ , и поэтому  $\rho^0$  не зависит от  $\Omega^0, \Delta^0$ . Так как  $\eta_j$  здесь зависят от  $t$  только через  $\xi_5(t, \varepsilon)$ , то из (4),(28) следует, что  $d(\eta_j/\lambda_j)/dt = O(\varepsilon^5)$  при  $\Delta = O(\varepsilon^{-1})$ . Тогда, обозначая через  $I_j(t, \varepsilon)$  интегралы в (24), содержащие  $\eta_j$ , с помощью интегрирования по частям и оценок (28),(29) устанавливаем, что

$$|I_j(t, \varepsilon)| \leq I^0(\varepsilon) = O(\varepsilon^2) \quad (j = 1, 2; \quad t \in [t_0; t_1]). \quad (31)$$

В таком случае из (24),(30) следуют неравенства

$$|u_j(t, \varepsilon)| \leq \tilde{u}^0 + \chi^+(t, \varepsilon) + \rho^0(\varepsilon) \int_{t_0}^t (|u_1(\tau, \varepsilon)| + |u_2(\tau, \varepsilon)|) d\tau \quad (j = 1, 2).$$

Здесь  $\chi^+(t, \varepsilon) = \chi^0(t, \varepsilon)(t - t_0) + I^0(\varepsilon)$ , а так как  $t - t_0 = O(\varepsilon^{-3})$ , то  $\chi^+(t, \varepsilon)$  имеет вид функции  $\chi^0(t, \varepsilon)$  в (30), где величины  $O(\varepsilon^n)$  заменены на  $O(\varepsilon^{n-3})$ . Отсюда, пользуясь леммой Гронуолла в форме, приведенной в [2], получаем оценку

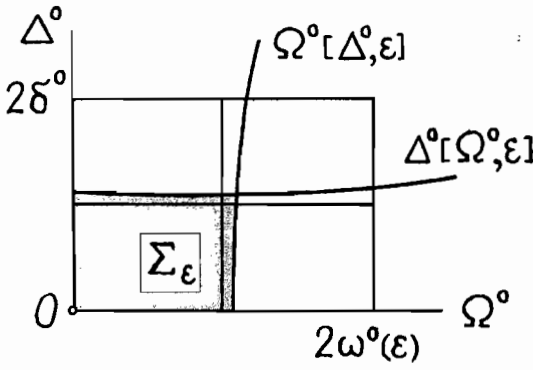
$$|u_1(t, \varepsilon)| + |u_2(t, \varepsilon)| \leq 2\tilde{u}^0 + m_1(\Omega^0(t, \varepsilon), \Delta^0(t, \varepsilon), \varepsilon), \quad (32)$$

где  $m_1$  – функция такого же вида, что и  $\chi^+$ . Но тогда из формул замены (22) с учетом непрерывности и неубывания  $\Omega^0, \Delta^0(t, \varepsilon)$  по  $t$  следует, что при  $0 \leq \Omega^0 \leq O_+(\varepsilon^{-1}), 0 \leq \Delta^0 \leq O_+(\varepsilon^{-1})$  для  $\Omega^0, \Delta^0(t, \varepsilon)$  справедливы неравенства

$$\begin{aligned} \Omega^0(t, \varepsilon) &\leq \omega^0(\varepsilon) + m_2(\Omega^0(t, \varepsilon), \Delta^0(t, \varepsilon), \varepsilon), \\ \Delta^0(t, \varepsilon) &\leq \delta^0 + m_1(\Omega^0(t, \varepsilon), \Delta^0(t, \varepsilon), \varepsilon), \quad t \in [t_0; t_1]. \end{aligned} \quad (33)$$

Здесь  $\omega^0(\varepsilon) = 2\varepsilon[\lambda^{+0}(\varepsilon) + k^0(\varepsilon)]\tilde{u}^0 + e^0(\varepsilon) = O_+(1), \delta^0 = 2\tilde{u}^0 + d^0 = O(1)$ , а  $m_2$  – функция такого же вида, что и  $\chi^+$ .

С помощью принципа сжимающих отображений устанавливаем, что множество точек  $(\Omega^0, \Delta^0)$  прямоугольника  $\Sigma_\varepsilon^0 : 0 \leq \Omega^0 \leq 2\omega^0(\varepsilon), 0 \leq \Delta^0 \leq 2\delta^0$ , удовлетворяющих неравенствам (33), при малых  $\varepsilon$  представляет собой область  $\Sigma_\varepsilon$ , ограниченную осьми координат и непрерывными кривыми  $\Omega^0[\Delta^0, \varepsilon], \Delta^0[\Omega^0, \varepsilon]$  такими, что  $\Omega^0[\Delta^0, \varepsilon] = \omega^0(\varepsilon) + O_+(\varepsilon), \Delta^0[\Omega^0, \varepsilon] = \delta^0 + O_+(\varepsilon)$  (см. рисунок). Аргументы здесь взяты в квадратные скобки, чтобы отличить эти кривые от  $\Omega^0, \Delta^0(t, \varepsilon)$ . Множество (возможно, пустое) точек  $(\Omega^0, \Delta^0)$ , удовлетворяющих неравенствам (33) и лежащих вне прямоугольника  $\Sigma_\varepsilon^0$ , обозначим через  $\Sigma'_\varepsilon$ .



В соответствии с формулами (22) и вытекающим из (24),(25) неравенством  $|u_1(t_0, \varepsilon)| + |u_2(t_0, \varepsilon)| \leq 2\tilde{u}^0$  имеем  $\Omega^0(t_0, \varepsilon) \leq \omega^0(\varepsilon), \Delta^0(t_0, \varepsilon) \leq \delta^0$ , так что при  $t = t_0$  точка  $(\Omega^0(t, \varepsilon), \Delta^0(t, \varepsilon))$  лежит в  $\Sigma_\varepsilon$ .

Но функции  $\Omega^0, \Delta^0(t, \varepsilon)$  удовлетворяют неравенствам (33) при всех  $t \in [t_0; t_1]$ , а поскольку они непрерывны по  $t$ , точка  $(\Omega^0(t, \varepsilon), \Delta^0(t, \varepsilon))$  не может попасть в  $\Sigma'_\varepsilon$  и, следовательно, остается в  $\Sigma_\varepsilon$ . Это означает, что при  $t \in [t_0; t_1]$  выполняются следующие оценки

$$\begin{aligned} |\Omega(t, \varepsilon)| &\leq \omega^0(\varepsilon) + O_+(\varepsilon) = O_+(1), \\ |\Delta(t, \varepsilon)| &\leq \delta^0 + O_+(\varepsilon) = O_+(1). \end{aligned} \quad (34)$$

**6. Приближенные выражения  $\Omega, \Delta$ .** Оценки (34) позволяют установить, что  $m_1 = O(\varepsilon), \chi_j = O(\varepsilon^4)$ . Тогда из (24), (32) с учетом полученных ранее оценок (30),(31) для  $\rho_j, \eta_j, I_j$  получаем  $u_j(t, \varepsilon) = \tilde{u}_j(t, \varepsilon) + O(\varepsilon), j = 1, 2$ . При этом  $u(t_0, \varepsilon) = \tilde{u}(t_0, \varepsilon)$  согласно (25). Следовательно, если обозначить через  $\tilde{\Omega}, \tilde{\Delta}(t, \varepsilon)$  функции, которые определяются формулами (22) при замене в них  $u_j$  выражением (25), то получим оценки

$$\Omega(t, \varepsilon) - \tilde{\Omega}(t, \varepsilon) = O(\varepsilon), \quad \Delta(t, \varepsilon) - \tilde{\Delta}(t, \varepsilon) = O(\varepsilon), \quad t \in [t_0; t_1]. \quad (35)$$

Здесь  $\Omega, \Delta(t, \varepsilon)$  – точное решение уравнений (7). В начальный момент имеем  $\tilde{\Omega}, \tilde{\Delta}(t_0, \varepsilon) = \Omega, \Delta(t_0, \varepsilon)$ , отсюда следуют выражения для комплексных постоянных  $u_j(t_0, \varepsilon)$ .

Величины  $w, \lambda_j, k, e, d$  в определении функций  $\tilde{\Omega}, \tilde{\Delta}(t, \varepsilon)$  зависят от  $t$  только через  $y, v, \theta, \psi, p$ , а  $\lambda_j^+$  – еще и через  $\zeta$  в выражении  $\dot{w}$ . Поэтому указанные функции нельзя рассматривать в качестве приближенного решения уравнений (7). Однако, поскольку  $k = O(\varepsilon^3), \dot{w}/4w = O(\varepsilon^3)$ , то оценки (35) не изменятся, если в определении  $\tilde{\Omega}$  формулой вида (22) вместо  $\lambda_j^+ + k$  взять  $\lambda_j$  ( $j = 1, 2$ ). Тогда приближенное решение уравнений углового движения (7) будет иметь вид

$$\begin{aligned}\tilde{\Omega}(t, \varepsilon) &= i \frac{w^{1/4}(t_0, \varepsilon)}{w^{-1/4}(t, \varepsilon)} \left[ C_1 \lambda_1(t, \varepsilon) \exp \int_{t_0}^t \lambda_1(\tau, \varepsilon) d\tau + C_2 \lambda_2(t, \varepsilon) \exp \int_{t_0}^t \lambda_2(\tau, \varepsilon) d\tau \right] + e(t, \varepsilon), \\ \tilde{\Delta}(t, \varepsilon) &= \frac{w^{1/4}(t_0, \varepsilon)}{w^{-1/4}(t, \varepsilon)} \left[ C_1 \exp \int_{t_0}^t \lambda_1(\tau, \varepsilon) d\tau + C_2 \exp \int_{t_0}^t \lambda_2(\tau, \varepsilon) d\tau \right] + d(t, \varepsilon),\end{aligned}\quad (36)$$

и для его погрешности сохраняются оценки (35). Из условий  $\tilde{\Omega}(t_0, \varepsilon) = \Omega(t_0, \varepsilon), \tilde{\Delta}(t_0, \varepsilon) = \Delta(t_0, \varepsilon)$  следуют выражения комплексных постоянных  $C_j = u_j(t_0, \varepsilon)$ :

$$C_j = (-1)^j \frac{i[\Omega(t_0, \varepsilon) - e(t_0, \varepsilon)] + \lambda_{3-j}(t_0, \varepsilon)[\Delta(t_0, \varepsilon) - d(t_0, \varepsilon)]}{2w(t_0, \varepsilon)} \quad (j = 1, 2). \quad (37)$$

Решение (36) определено, если известны зависимости  $y, v, \theta, \psi, p$  от  $t, \varepsilon$ .

Его можно еще упростить, сохранив оценки (35). Для этого в формулах (36) следует заменить под знаками интегралов  $\lambda_j$  на  $\lambda_j^{[5]}$ , а во внеинтегральных членах этих формул достаточно заменить величины  $w, \lambda_j, C_j, e, d$  их приближенными выражениями  $w, \lambda_j^{[2]}, C_j^{[2]}, e^{[2]}, d^{[2]}$ . Для  $w^{[2]}, \lambda_j^{[2]}$  согласно (18), (26) имеем  $w^{[2]} = -A_{g0}^2 \sigma^2 / 4, \lambda_j^{[2]} = i\omega_j^{[2]}, \omega_j^{[2]} = A_{g0}(1 \pm \sigma)/2$ , а для  $e^{[2]}, d^{[2]}, \lambda_j^{[5]} = n_j^{[5]} + i\omega_j^{[5]}$  уже получены выражения (15), (26). Воспользовавшись этими аппроксимациями, находим

$$C_j^{[2]} = (-1)^j \frac{\Omega(t_0, \varepsilon) - e^{[2]}(t_0, \varepsilon) + \omega_{3-j}^{[2]}(t_0, \varepsilon)[\Delta(t_0, \varepsilon) - d^{[2]}(t_0, \varepsilon)]}{A_{g0}(t_0, \varepsilon)\sigma(t_0, \varepsilon)} \quad (j = 1, 2).$$

В результате вместо  $\tilde{\Omega}, \tilde{\Delta}$  получаем приближенное решение уравнений углового движения (7), которое обозначим через  $\tilde{\tilde{\Omega}}, \tilde{\tilde{\Delta}}$ . Так как  $\tilde{\Omega} - \tilde{\tilde{\Omega}} = O(\varepsilon^2), \tilde{\Delta} - \tilde{\tilde{\Delta}} = O(\varepsilon^2)$ , то из (35) следует оценка его погрешности

$$\Omega(t, \varepsilon) - \tilde{\tilde{\Omega}}(t, \varepsilon) = O(\varepsilon), \quad \Delta(t, \varepsilon) - \tilde{\tilde{\Delta}}(t, \varepsilon) = O(\varepsilon), \quad t \in [t_0; t_1]. \quad (38)$$

В работе [6] оценка модуля погрешности приближенного решения, аналогичного  $\tilde{\tilde{\Omega}}, \tilde{\tilde{\Delta}}$ , получена не через  $O$ -символы, а в виде сложных неравенств. При этом не учитывались нелинейные члены уравнений движения, а также возможность уменьшения частоты  $\omega_2$  на среднем участке траектории при больших углах стрельбы. При таких допущениях в уравнениях (7) следует положить  $h_\Omega, h_\Delta = 0$ , а вместо (28) принять  $1/\omega_j = O(1)$  ( $j = 1, 2$ ). Тогда в (30) будет  $\chi^0(\varepsilon) = O(\varepsilon^6)$ , а оценка (31) примет вид

$I_j(t, \varepsilon) = O(\varepsilon^3)$ . В результате оказывается, что принятой в [6] постановке задачи вместо (35) соответствует оценка  $\Omega - \tilde{\Omega} = O(\varepsilon^3)$ ,  $\Delta - \tilde{\Delta} = O(\varepsilon^3)$ , а вместо (38) – оценка  $\Omega - \tilde{\Omega} = O(\varepsilon^2)$ ,  $\Delta - \tilde{\Delta} = O(\varepsilon^2)$ .

1. Гантмахер Ф.Р., Левин Л.М. Теория полета неуправляемых ракет. – М.: Физматгиз, 1959. – 360 с.
2. Коддингтон Э.А., Левинсон Н. Теория обыкновенных дифференциальных уравнений. – М.: Изд-во иностранной литературы, 1958. – 475 с.
3. Коносевич Б.И. К теории полета осесимметричного снаряда // Механика твердого тела. – 1997. – Вып. 28. – С. 44 – 55.
4. Мэрфи Ч.Х. Динамическая неустойчивость осесимметричного снаряда // Ракетная техника и космонавтика. – 1982. – 20, N 5. – С. 132–141.
5. Новожилов И.В. Фракционный анализ. – М.: Изд-во МГУ. – 1991. – 190 с.
6. Пугачев В.С. Общая задача о движении вращающегося артиллерийского снаряда в воздухе//Тр. ВВИА им. Жуковского. – 1940. – Вып. 70. – 90 с.
7. Федорюк М.В. Обыкновенные дифференциальные уравнения. – М.: Наука, 1980. – 352 с.

Ин-т прикл. математики и механики НАН Украины, Донецк

Получено 12.10.99

УДК 531.38

©2000. Т.А. Кушпиль, Д.Д. Лещенко, И.А. Тимошенко

## НЕКОТОРЫЕ ЗАДАЧИ ЭВОЛЮЦИИ ВРАЩЕНИЙ ТВЕРДОГО ТЕЛА ПОД ДЕЙСТВИЕМ ВОЗМУЩАЮЩИХ МОМЕНТОВ

Рассматривается движение вокруг центра инерции твердого тела близкого к динамически сферическому и содержащего вязкоупругий элемент. Этот элемент моделируется подвижной массой, прикрепленной при помощи упругой связи с вязким трением к точке, расположенной на одной из главных осей инерции. Считается, что малые параметры, обусловленные близостью момента инерции и наличием подвижной массы, одного порядка. Вводятся сферические координаты, определяющие положение вектора угловой скорости, для которых получена и исследована система дифференциальных уравнений. Рассмотрены специальные случаи движения.

Исследуются возмущенные вращательные движения твердого тела, близкие к регулярной прецессии в случае Лагранжа, под действием возмущающего момента, медленно изменяющегося во времени, и восстанавливающего момента, зависящего от угла нутации. Тело предполагается быстро закрученным, проекции вектора возмущающего момента на оси инерции тела одного порядка малости с восстанавливающим моментом. Получены и исследуются усредненные системы уравнений движения в первом и втором приближениях. Рассмотрены примеры.

1. Исследуем движение вокруг центра инерции близкого к динамически сферическому твердого тела, к которому в точке  $O_1$ , расположенной на одной из главных осей инерции, прикреплена при помощи упругой связи точка массы  $m$ . Начало декартовой системы координат, связанной с твердым телом, поместим в центр инерции тела точку  $O$ , а орты  $e_1, e_2, e_3$  направим по главным осям инерции так, чтобы орт  $e_3$  определял ось, на которой расположена точка  $O_1$ . Тогда для радиус-вектора точки  $O_1$  имеем  $\rho = \rho e_3$ , причем, не нарушая общности, будем считать  $\rho > 0$ .

При выводе уравнений движения используется схема, изложенная в [8].

При исследовании эволюции вращения твердого тела ограничимся условиями

$$\Omega^2 \gg \lambda\omega \gg \omega^2, \quad (\omega \equiv |\boldsymbol{\omega}| \sim 1) \quad (1)$$

что дает возможность пренебречь свободными колебаниями точки  $m$  и учитывать лишь ее вынужденные движения, которые будем искать в виде разложения по степеням  $\Omega^{-2}$ . В этом случае уравнение движения твердого тела с тензором инерции  $J_0^*$